

УДК 519.7



## МОДЕЛЬ ИРРАДИАЦИИ ЗРЕНИЯ

М.Ф. Бондаренко<sup>1</sup>, С.Ю. Шабанов-Кушнарченко<sup>2</sup>,  
Ю.П. Шабанов-Кушнарченко<sup>3</sup>

<sup>1, 2, 3</sup> ХНУРЭ, г. Харьков, Украина

Исследуется модель иррадиации зрения и ее реакции на различные виды картин. Представлены диаграммы, характеризующие распределение яркости и светлоты зрительного ощущения в поле зрения. Сформулировано условие, обеспечивающее равенство критической густоты периодических полос произвольной формы.

### МОДЕЛЬ ИРРАДИАЦИИ ЗРЕНИЯ, КРИТИЧЕСКАЯ ГУСТОТА ПОЛОС, НУЛЕВОЙ ПРИБОР

#### Введение

В настоящей статье мы рассмотрим некоторые следствия, вытекающие из математической модели иррадиации зрения

$$S(x, y) = \frac{k}{2\pi b^2} \int \int_{-\infty}^{\infty} B(\xi, \eta) K_0 \left( \frac{\sqrt{(\xi-x)^2 + (\eta-y)^2}}{b} \right) d\xi d\eta. \quad (1)$$

предложенной в работе [1]. Следствия эти будут подвергнуты экспериментальной проверке. Определим, исходя из модели, как будет выглядеть вертикальная полоса, имеющая ширину  $\Delta x$ . Будем считать, что ось полосы проходит через точку фиксации. Яркость фона равна  $B_0$ , яркость полосы отличается от яркости фона на величину  $\Delta B$ . Яркость описанной зрительной картины может быть выражена в следующем виде:

$$B(x) = \begin{cases} B_0, & \text{если } x \leq -\frac{\Delta x}{2}, \\ B_0 + \Delta B, & \text{если } -\frac{\Delta x}{2} < x \leq \frac{\Delta x}{2}, \\ B_0, & \text{если } x > \frac{\Delta x}{2}. \end{cases} \quad (2)$$

На рис. 1 *a* показан ход изменения яркости зрительной картины в зависимости от координаты  $x$ . Произведя в правой части формулы (1) интегрирование с учетом выражения (2), получим следующее равенство, определяющее светлоту полосы в функции координаты  $x$ :

$$S(x) = \begin{cases} k B_0 + k \Delta B \operatorname{sh} \frac{\Delta x}{2b} e^{\frac{x}{b}}, & \text{если } x \leq -\frac{\Delta x}{2}; \\ k B_0 + k \Delta B (1 - e^{-\frac{\Delta x}{2b} \operatorname{ch} \frac{x}{b}}), & \text{если } -\frac{\Delta x}{2} < x \leq \frac{\Delta x}{2}; \\ k B_0 + k \Delta B \operatorname{sh} \frac{\Delta x}{2b} e^{-\frac{x}{b}}, & \text{если } x > \frac{\Delta x}{2}. \end{cases} \quad (3)$$

Диаграмма изменения светлоты полосы представлена на рис. 1. Из диаграммы видно, что уровень светлоты достигает максимального значения при  $x = 0$ , то есть на оси полосы. При удалении от

оси полосы в ту или иную сторону, светлота постепенно снижается, стремясь к значению  $B_0$ .

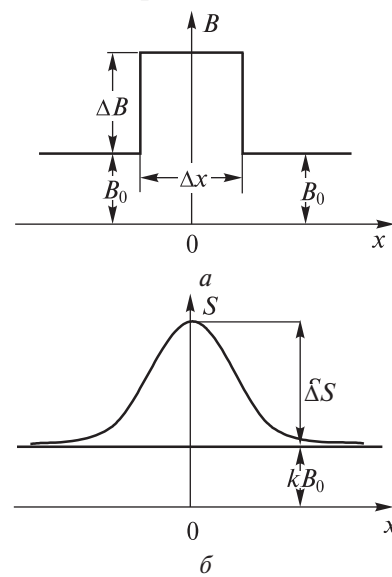


Рис. 1

Определим максимальное приращение светлоты зрительного ощущения полосы, для чего подставим во второе из уравнений (3) значение  $x=0$ :

$$\Delta S = k \Delta B (1 - e^{-\frac{\Delta x}{2b}}). \quad (4)$$

Формула (4) показывает, что максимальное приращение светлоты  $\Delta S$  зрительного ощущения полосы зависит от ширины  $\Delta x$  полосы, возрастая при ее увеличении. На диаграмме (рис. 2) показан характер этой зависимости.

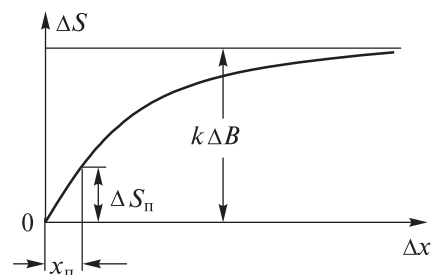


Рис. 2

Из диаграммы видно, что при неограниченном росте ширины полосы максимальное приращение

светлоты зрительного ощущения полосы стремится к нулю. Уменьшая ширину полосы, всегда можно прийти к такому положению, когда максимальное приращение светлоты ощущения полосы сравняется с пороговым значением  $\Delta S_{\text{п}}$ . Ширину полосы, при которой максимальное приращение светлоты имеет пороговое значение, назовем пороговой шириной полосы и обозначим ее через  $\Delta x_{\text{п}}$ . Определим пороговую ширину полосы по формуле (4), подставляя в нее вместо  $\Delta S$  величину  $\Delta S_{\text{п}} = k\Delta B_{\text{п}}$ , а вместо  $\Delta x$  – величину  $\Delta x_{\text{п}}$ :

$$\Delta x_{\text{п}} = 2b \ln \frac{1}{1 - \frac{\Delta B_{\text{п}}}{\Delta B}}. \quad (5)$$

Полученное соотношение показывает, что пороговая ширина полосы  $\Delta x_{\text{п}}$  зависит от величины яркости полосы  $\Delta x_{\text{п}}$ . Характер этой зависимости показан на диаграмме (рис. 3). Из диаграммы видно, что при повышении яркости полосы пороговая ширина полосы  $\Delta x_{\text{п}}$  снижается и при неограниченном росте  $\Delta B$  стремится к нулю. При уменьшении яркости полосы ее пороговая ширина растет и при значении  $\Delta B = \Delta B_{\text{п}}$  обращается в бесконечность. Величина  $\Delta B_{\text{п}}$  имеет смысл яркостного порога различения.

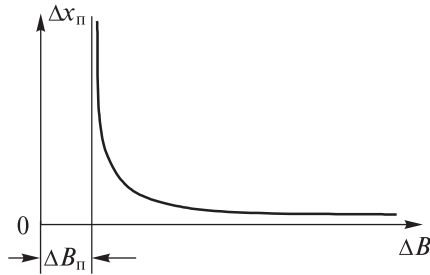


Рис. 3

Заметим, что зависимость (5) допускает опытную проверку.

Определим теперь, исходя из модели, как будет выглядеть кружок, имеющий диаметр  $D$ . Будем считать, что центр кружка совпадает с точкой фиксации. Яркость фона равна  $B_0$ , яркость кружка отличается от яркости фона на величину  $\Delta B$ . В этом случае яркость зрительной картины может быть выражена в виде следующих условий:

$$B(r) = \begin{cases} B_0 + \Delta B, & \text{если } r \leq \frac{D}{2}, \\ B_0, & \text{если } r > \frac{D}{2}, \end{cases} \quad (6)$$

где  $r$  – радиус полярной системы координат. Решая уравнение (1) при условии (6), получим следующее выражение для светлоты зрительного ощущения кружка:

$$S(r) = \begin{cases} kB_0 + k\Delta B \left[ 1 - \frac{D}{2b} K_1 \left( \frac{D}{2b} \right) J_0 \left( \frac{r}{b} \right) \right], & \text{если } r \leq \frac{D}{2}, \\ kB_0 + k\Delta B \frac{D}{2b} J_1 \left( \frac{D}{2b} \right) K_0 \left( \frac{r}{b} \right), & \text{если } r > \frac{D}{2}, \end{cases} \quad (7)$$

где  $K_0, K_1, J_0, J_1$  – бесселевы функции.

На рис. 4 а и б показаны диаграммы изменения яркости кружка и светлоты его зрительного ощущения в зависимости от радиуса  $r$ , построенные по формулам (6) и (7). Из диаграмм видно, что уровень светлоты достигает максимального значения при  $r = 0$ , то есть в центре кружка. При удалении от центра кружка светлота постепенно снижается, стремясь к значению  $B_0$ .

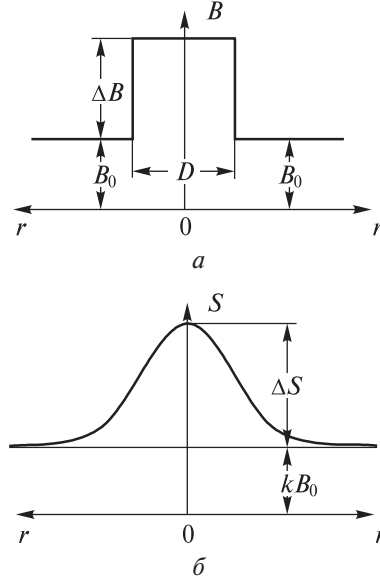


Рис. 4

Определим максимальное приращение светлоты кружка, для чего подставим в первое из уравнений (7) значение  $r = 0$ :

$$\Delta S = k\Delta B \left[ 1 - \frac{D}{2b} K_1 \left( \frac{D}{2b} \right) \right]. \quad (8)$$

Формула (8) показывает, что максимальное приращение светлоты  $\Delta S$  зависит от диаметра кружка  $D$ , возрастая при его увеличении. На диаграмме (рис. 5) показан характер этой зависимости.

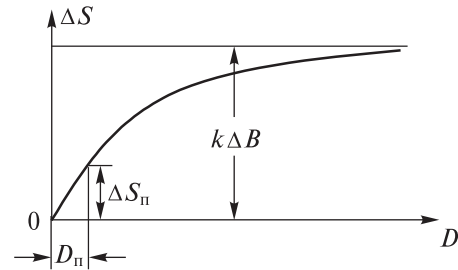


Рис. 5

Из диаграммы видно, что, уменьшая диаметр кружка, можно снизить максимальное приращение светлоты  $\Delta S$  к пороговому значению  $\Delta S_{\text{п}}$ . Диаметр кружка, при котором максимальное приращение светлоты кружка имеет пороговое значение, назовем пороговым диаметром кружка и обозначим его через  $D_{\text{п}}$ . Пороговый диаметр кружка можно определить из выражения

$$\frac{\Delta B_{\text{п}}}{\Delta B} = 1 - \frac{D_{\text{п}}}{2b} K_1 \left( \frac{D_{\text{п}}}{2b} \right), \quad (9)$$

вытекающего из формулы (8) при подстановке в нее вместо  $\Delta S$  величины  $k\Delta B_{\Pi}$  и вместо  $D$  – величины  $D_{\Pi}$ . Полученная зависимость допускает опытную проверку. Опытная проверка формул (5) и (9) описывается в разделе 3.

**1. Реакция модели иррадиации на серию прямоугольных полос**

Рассмотрим теперь реакцию модели на серию вертикальных черно-белых полос. Белые полосы имеют яркость  $B_1$ , черные –  $B_2$ . Яркость  $B(x)$  для этого случая запишется в виде:

$$B(x) = \begin{cases} B_1, & \text{если } nX < x \leq (n+\lambda)X, \\ B_2, & \text{если } (n+\lambda)X < x \leq (n+1)X. \end{cases} \quad (10)$$

На диаграмме (рис. 6 а) показан характер изменения яркости зрительной картины в зависимости от координаты  $x$  при ее задании условиями (10). Параметр  $\lambda$  определяет ширину белой полосы, равную  $\lambda X$ ; ширина черной полосы равна  $(1-\lambda)X$ . Величина  $\lambda$  назначается в пределах от 0 до 1.

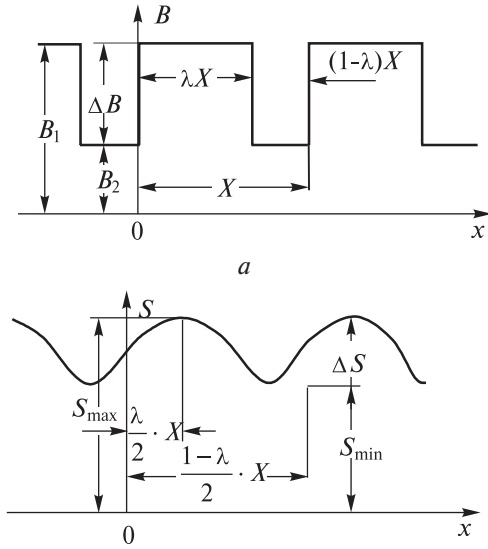


Рис. 6

Пользуясь формулой (1) для условий (10), можно получить следующее выражение для определения светлоты ощущения картины в виде серии полос

$$S(x) = \begin{cases} k B_1 - \frac{sh \frac{X}{2b} (1-\lambda)}{sh \frac{X}{2b}} \cdot ch \frac{2(x-nX) - \lambda X}{2b} k \Delta B, & \text{если } nX < x \leq (n+\lambda)X, \\ k B_2 + \frac{sh \frac{X}{2b} \lambda}{sh \frac{X}{2b}} \cdot ch \frac{2(x-nX) - (1-\lambda)X}{2b} k \Delta B, & \text{если } (n+\lambda)X < x \leq (n+1)X, \end{cases} \quad (11)$$

где

$$\Delta B = B_1 - B_2. \quad (12)$$

На рис. 6 б представлена диаграмма изменения светлоты серии полос в зависимости от координаты  $x$ , построенная по формулам (11). Из диаграммы видно, что светлота колеблется между минимальным  $S_{\min}$  и максимальным  $S_{\max}$  значениями, достигаемыми соответственно на оси белой и черной полосы при значении координаты  $x$  равном  $(n+\lambda/2)X$  и  $(n+(1+\lambda)/2)X$ . По формулам (11) находим:

$$S_{\max} = k B_1 - \frac{sh \frac{X}{2b} (1-\lambda)}{sh \frac{X}{2b}} k \Delta B, \quad (13)$$

$$S_{\min} = k B_2 + \frac{sh \frac{X}{2b} \lambda}{sh \frac{X}{2b}} k \Delta B.$$

Величина колебания светлоты равна:

$$\Delta S = S_{\max} - S_{\min} = 2k \Delta B \frac{sh \frac{\lambda}{4b} \cdot sh \frac{1-\lambda}{4b} X}{ch \frac{X}{4b}}. \quad (14)$$

Формула (14) показывает, что величина колебания светлоты  $\Delta S$  картины в виде серии полос зависит от значения параметра  $\lambda$ . Характер этой зависимости показан на диаграмме (рис. 7).

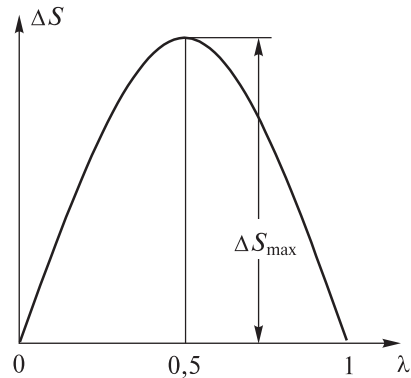


Рис. 7

Как видно из диаграммы, колебание светлоты достигает максимального значения  $\Delta S_{\max}$  при  $\lambda=1/2$ , то есть когда белая и черная полосы имеют одинаковую ширину:

$$\Delta S_{\max} = k \Delta B \cdot th \frac{X}{4b} \cdot th \frac{X}{8b}. \quad (15)$$

Согласно формуле (15) величина колебания светлоты  $\Delta S_{\max}$  зависит от ширины периода  $X$ . На диаграмме рис. 8 показан характер этой зависимости. Из диаграммы видно, что при неограниченном росте ширины периода  $X$  колебание светлоты зрительной картины стремится к значению  $\Delta S=k\Delta B$ . При уменьшении ширины периода  $X$  до нуля величина  $\Delta S$  также стремится к нулю.

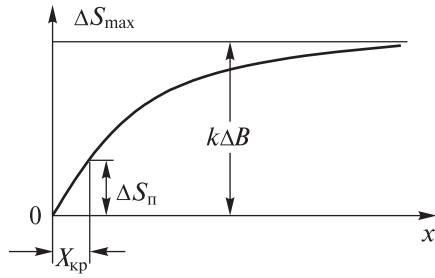


Рис. 8

Уменьшая ширину периода, то есть увеличивая густоту полос, можно снизить величину колебания светлоты  $\Delta S$  до порога различения  $\Delta S_{\text{п}}$ . Ширину периода, при которой колебание светлоты имеет пороговое значение, назовем критической шириной периода и обозначим ее через  $X_{\text{кр}}$ . Будем также пользоваться понятием критической густоты полос, равной  $m_{\text{кр}}=1/X_{\text{кр}}$ . Колебания яркости полос не будут обнаруживаться человеком, если их густота превысит критическую величину, при этом произойдет слияние полос. Найдем выражение для определения критической густоты полос  $m_{\text{кр}}$  в зависимости от величины колебания яркости полос  $\Delta B$  для случая, когда  $\lambda=1/2$ . С этой целью подставим в формулу (15) вместо  $\Delta S_{\text{max}}$  величину  $\Delta S_{\text{п}}=k\Delta B$ , а вместо  $X$  – величину  $1/m_{\text{кр}}$ . В результате получим:

$$m_{\text{кр}} = \frac{1}{4b \left| \text{Arch} \frac{1}{1 - \frac{\Delta B_{\text{п}}}{\Delta B}} \right|}. \quad (16)$$

На рис. 9 показано, как изменяется критическая густота полос  $m_{\text{кр}}$  в зависимости от колебания яркости  $\Delta B$ . Значению  $m_{\text{кр}}=0$  соответствует величина колебания яркости  $\Delta B_{\text{п}}$ . Формула (16) допускает экспериментальную проверку. При достаточно больших по сравнению с  $\Delta B_{\text{п}}$  значениях  $\Delta B$ , зависимость (16), как это видно из диаграммы (рис. 9), приобретает практически параболический характер:

$$m_{\text{кр}} = \frac{\sqrt{\frac{\Delta B}{\Delta B_{\text{п}}}}}{4b\sqrt{2}}. \quad (17)$$

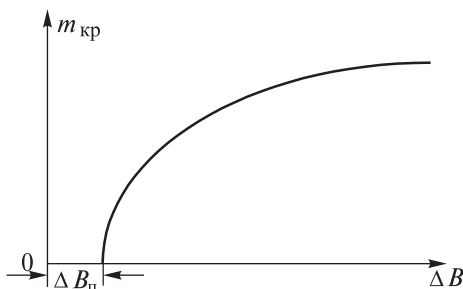


Рис. 9

Рассмотрим теперь зависимость критической густоты полос  $m_{\text{кр}}$  от параметра  $\lambda$ , то есть от соотношения ширины белой и черной полос. С этой целью определим из уравнения (14) величину  $\lambda$ , предварительно заменив в нем  $\Delta S$  на  $\Delta S_{\text{п}}=k\Delta B_{\text{п}}$  и  $X$  на  $1/m_{\text{кр}}$ . В результате получим:

$$\lambda = \frac{1}{2} + 2bm_{\text{кр}} \text{Arch} \left[ \left( 1 - \frac{\Delta B_{\text{п}}}{\Delta B} \right) \text{ch} \frac{1}{4bm_{\text{кр}}} \right]. \quad (18)$$

На рис. 10 в виде диаграммы показан характер зависимости  $m_{\text{кр}}$  от  $\lambda$ , определяемой формулой (18). Формула (18) допускает экспериментальную проверку.

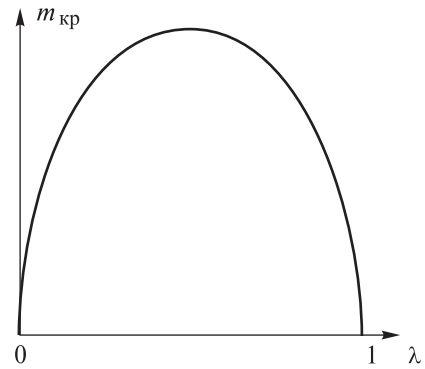


Рис. 10

При достаточно больших по сравнению  $\Delta B_{\text{п}}$  значениях  $\Delta B$  зависимость (18) принимает более простой вид:

$$m_{\text{кр}} \approx \frac{\sqrt{2\lambda(1-\lambda) \frac{\Delta B}{\Delta B_{\text{п}}}}}{4b}. \quad (19)$$

## 2. Эксперименты по проверке модели иррадиации

В двух предыдущих разделах были получены аналитические зависимости для описания условий пороговой видимости одиночной полосы, кружка и серии полос. Здесь описываются эксперименты, подтверждающие справедливость этих зависимостей при условии, что яркость полосы или кружка отличается от яркости фона на небольшую величину (до 10 пороговых значений). Первый опыт состоял в определении условий пороговой видимости узкой серой полосы на белом фоне. Ширина полосы  $\Delta x$ , выраженная в угловых единицах, и разность яркости фона и полосы  $\Delta B$  в процессе опыта регулировались. Цель опыта состояла в определении зависимости между пороговой шириной полосы  $\Delta x_{\text{п}}$  и разностью яркости фона и полосы  $\Delta B$ :

$$\Delta x_{\text{п}} = f(\Delta B). \quad (20)$$

Ниже описываются особенности методики проведения первого опыта. Эти особенности в равной степени относятся и к последующим опытам, из-

ложенным в этом разделе. Эксперимент осуществлялся с помощью диска Максвелла (вертушки), на котором устанавливались два белых бумажных кружка (из ватмана) диаметром 50 мм. Кружки имеют прорезы и вставлены друг в друга, как показано на рис. 11. На кружок 1 черной тушью наносится полоса в виде дуги окружности со средним радиусом 15 мм, толщина полосы  $\Delta x$  в опытах изменялась в пределах от 0,06 до 5 мм. Кружок 2 оставался белым. Поворотом кружка 1 относительно кружка 2 можно точно дозировать размер дуги видимого участка полосы. Измерение дуги осуществляется с помощью лимба 3, имеющего шкалу на 60 делений. Одно деление составляет 1:1280 часть окружности. Размер дуги устанавливается с точностью до одного деления лимба. В опытах размер дуги измерялся от 6 до 60 делений.

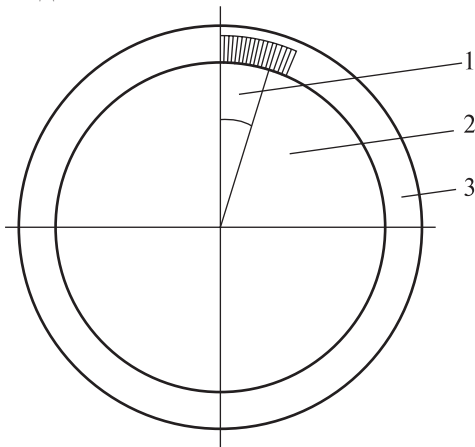


Рис. 11

При вращении вертушки с большой скоростью (порядка 50 об/сек) мы увидим, благодаря инерции зрения, вместо движущегося отрезка черной дуги серую линию в виде непрерывной окружности той же толщины  $\Delta x$ . Согласно обобщенному закону Талбота такая искусственным путем созданная зрительная картина тождественна по своему действию на глаз неподвижной серой окружности, вычерченной на белом фоне, яркость  $B$  которой равна:

$$B = \frac{\varphi B_ч + (2\pi - \varphi) B_б}{2\pi}, \quad (21)$$

где  $B_ч$  и  $B_б$  – яркость соответственно черной и белой поверхности;  $\varphi$  – угловой размер дуги, установленный на вертушке. Использование формулы (21) позволяет точно дозировать яркость полосы во время проведения опытов. Это дозирование осуществляется выбором углового размера дуги  $\varphi$ . Разность яркости белого фона и яркости полосы окружности равна:

$$\Delta B = B_б - B. \quad (22)$$

В связи с тем, что в опытах яркость полосы лишь незначительно отличалась от яркости белого фона,

существенной помехой для точного дозирования яркости полосы явилось просвечивание прикрываемого участка черной дуги сквозь белый кружок. Для борьбы с просвечиванием дуги пришлось увеличить толщину белого кружка, делая его двухслойным. Опыт не может считаться удовлетворительным, если при полностью прикрываемой дуге ( $\varphi=0$ ) глаз все же ее обнаруживает вследствие просвечивания сквозь белый кружок. Во время проведения опытов диск освещался лампой накапливания с вольфрамовой нитью напряжением 220 В мощностью 150 Вт с расстояния 3 м под углом  $45^\circ$ . Освещенность составила 130 лк. Для коэффициентов отражения белого и черного оттенков, использованных в опытах, получены значения соответственно 0,83 и 0,02. По этим данным с помощью формулы (21) определялись искомые коэффициенты отражения серой полосы. В опытах наибольшее отношение яркости белого фона  $B_б$  к яркости полосы  $B$  составляло менее 1,05, то есть яркость фона превышала яркость полосы на величину не более 5 %.

Яркость полос, использованных в опытах, сравнивалась с яркостью эталонного сплошного черного поля под микроскопом при стократном увеличении. К испытанию допускались лишь те полосы, для которых глаз не замечал отклонений яркости по сравнению с эталонным черным полем. Полосы, имеющие толщину 1 мм и более, сличались по яркости с эталонным полем непосредственно, без увеличения. Толщина полос также определялась с помощью микроскопа с точностью 0,005 мм, причем главным ограничением для точности замера являлось наличие неровностей краев у полосы. Поскольку толщину полосы при вычерчивании точно дозировать не представилось возможным, полоса требуемой толщины выбиралась из большого числа вычерченных полос разной толщины. Для полос с толщиной до 0,5 мм отклонения фактического размера толщины полосы от указанного в приведенных ниже таблицах не превышают 0,005 мм, для полос с толщиной свыше 0,5 мм – 0,01 мм.

Важным моментом при постановке опытов явились меры по тщательному центрированию кружка с нанесенной на нем дугой, так как малейший эксцентриситет или перекося дуги приводит к увеличению ее видимой ширины и искажению яркости. Другим важным фактором, от которого также зависел успех опыта, является правильный выбор пределов расстояния, с которого рассматривается полоса. Эти пределы должны выбираться с таким расчетом, чтобы не могли сказаться оптические несовершенства глаза (близорукость или дальновидность). В описываемых опытах расстояние наблюдения в первом опыте составляло постоянную величину, равную 500 мм, а в последующих опытах изменялось в пределах 210÷540 мм.

Опыты осуществлялись на одном наблюдателе, замеры многократно повторялись в течение месяца в различное время суток. Определялись пороги как на появление, так и на исчезновение полосы. В нижеприведенных таблицах указаны средние значения из 8-12 замеров. Разброс результатов в отдельных замерах, как правило, не выходил за пределы 10%. Результаты опытов представлены в табл. 1.

Таблица 1

Пороговая ширина полосы $h$ , мм	0,06	0,07	0,09	0,12	0,16	0,25	0,5	0,16	0,9	1,8	5,0
Число делений по шкале $n$	57	49	39	30	23	16	10	23	7	6	6

В первой строке таблицы указана ширина полосы, предъявляемой для рассматривания, во второй строке указано число делений по шкале, соответствующее размеру дуги, при котором имеет место пороговая видимость полосы.

Согласно формулам (21) и (22) разность яркости белого фона и полосы определится зависимостью:

$$\Delta B = \frac{n}{1280} (B_6 - B_4). \quad (23)$$

Введем пороговую разность яркостей  $\Delta B_{пн}$ , соответствующую 6 делениям по шкале  $\Delta B = \frac{n}{1280} (B_6 - B_4)$ , и отношение  $\frac{\Delta B}{\Delta B_{пн}} = \frac{n}{6}$ . Пороговая ширина полосы  $\Delta x_{пн}$  в угловых единицах (радианах) определится зависимостью  $\Delta x_{пн} = h/H$ , где  $h$  – пороговая ширина полосы в линейных единицах,  $H=500$  мм, расстояние, с которого велось наблюдение полосы.

На рис. 12 в координатах  $\Delta B/\Delta B_{пн}$  и  $1/\Delta x_{пн}$  в виде точек представлены результаты опытов по данным табл. 1. На этой же диаграмме нанесена кривая, построенная по формуле (5):

$$\Delta x_{пн} = 2b \ln \frac{1}{1 - \frac{\Delta B_{пн}}{\Delta B}}$$

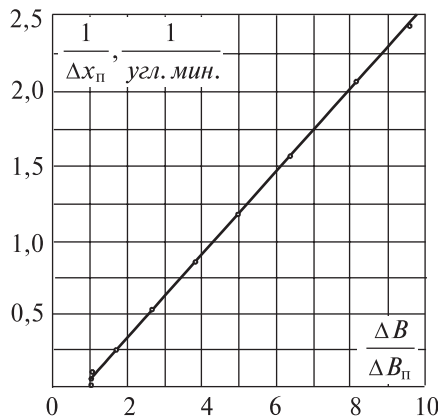


Рис. 12

При построении теоретической кривой по формуле (5) постоянная иррадиации зрения принята равной  $B=1,85'$ . Как видим, теоретическая кривая хорошо соответствует экспериментальным точкам. Отклонения экспериментальных данных от теоретических находятся в пределах точности постановки опытов. Необходимо заметить, что учет сравнительно небольшой кривизны линии, имевшей место в опыте, при теоретическом расчете не вносит заметной разницы в результаты вычислений по сравнению с формулой (5), при выводе которой полоса предполагалась прямой.

Второй опыт заключался в определении условий слияния серии из 12 серых концентрических полос. Яркость полос, так же как и в первом опыте, дозировалась с помощью вертушки изменением углового размера видимого участка серии полос. Ширина белого промежутка между соседними полосами равнялась ширине одной серой полосы. Все полосы одинаковы по ширине. Результаты опытов представлены в табл. 2.

Таблица 2

Пороговая ширина периода (белой и серой полос) $h$ , мм	0,55	0,55	0,55	0,55	0,55	1,2	1,2	1,2	2,0
Число делений по шкале $n$	60	51	42	33	24	16	10	7	6
Расстояние наблюдения $H$ , мм	540	500	450	390	320	540	350	340	500

На рис. 13 по данным табл. 2 точками нанесена экспериментальная зависимость между критической плотностью полос  $m_{кр} = H/h$  и величиной  $\Delta B/\Delta B_{пн}$ , равной, как и в предыдущем опыте,  $\Delta B/\Delta B_{пн} = n/6$ . На точки наложена теоретическая кривая, построенная по формуле (16):

$$m_{кр} = \frac{1}{4b \left| \text{Arch} \frac{1}{1 - \frac{\Delta B_{пн}}{\Delta B}} \right|}$$

Постоянная иррадиации зрения принята равной  $B=1,85'$ , то есть такой же, как и в случае с одиночной полосой. Сравнение теоретических и опытных данных указывает на хорошее согласование теории с опытом. Следует заметить, что при выводе формулы (16) предполагалось, что полосы прямые, а их число бесконечно велико. Фактически же в опытах полосы несколько искривлены, а их число конечно. Однако, как показывают расчеты, теоретический учет этих факторов не вносит сколько-нибудь заметных поправок в ход теоретической кривой.

Третий опыт отличался от второго тем, что при сохранении постоянной ширины периода в размере 0,55 мм ширина серой полосы изменялась от 0,03 до 0,52 мм. Число делений по шкале во всех опытах было постоянным и равным 60. В табл. 3 указаны результаты опытов.

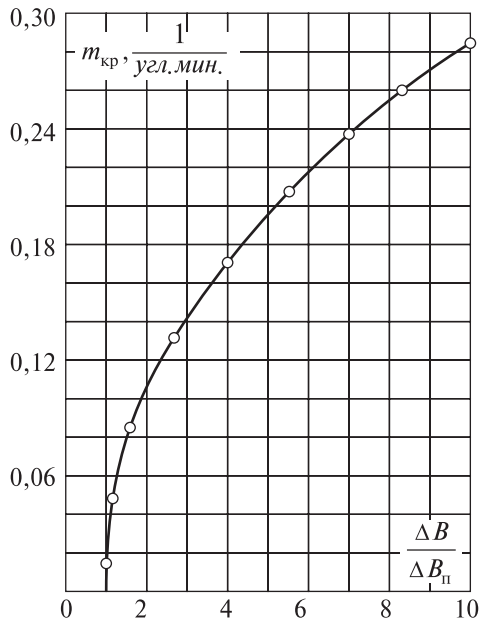


Рис. 13

Таблица 3

Пороговая ширина серой полосы $h$ , мм	0,03	0,06	0,10	0,16	0,27	0,39	0,45	0,49	0,52
Расстояние наблюдения $H$ , мм	210	310	420	500	540	490	410	330	200

На диаграмме (рис. 14) результаты опыта изображены графически в координатах  $m_{кр} = H/0,55$  и  $\lambda = h/0,55$ , где  $H$  и  $h$  необходимо подставлять в мм. Теоретическая диаграмма строилась по формуле (18):

$$\lambda = \frac{1}{2} + 2bm_{кр} \text{Arch} \left[ \left( 1 - \frac{\Delta B_{п}}{\Delta B} \right) ch \frac{1}{4bm_{кр}} \right].$$

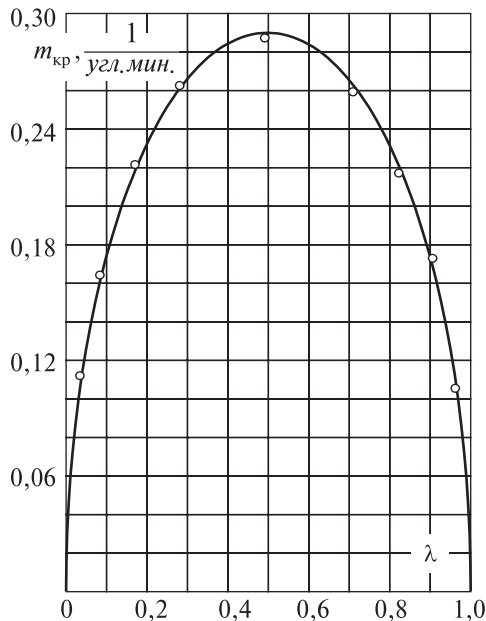


Рис. 14

При построении кривой принято прежнее значение постоянной иррадиации зрения  $b=1,85'$ .

Кроме того, в согласии с предыдущими опытами принято  $\Delta B/\Delta B_{п}=10$ , что соответствует 60 делениям по шкале вертушки. Как видим, и в этом случае наблюдается удовлетворительное согласование теории с опытом. Итак, в трех разнородных опытах получено хорошее согласование с теоретически выведенными модельными реакциями. Это обстоятельство служит веским доводом в пользу справедливости предложенной нами математической модели иррадиации зрения.

В литературе описаны опыты А.А. Смирнова по определению условий пороговой видимости светлого кружка на более темном фоне [2]. На рис. 15 в виде серии точек показаны результаты одного из этих опытов.

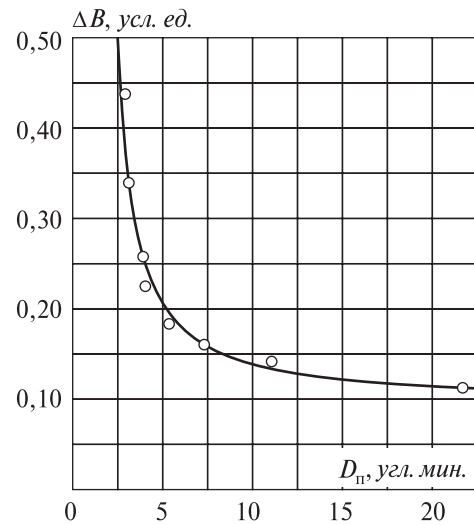


Рис. 15

На экспериментальные точки наложена теоретическая кривая, построенная по формулам (9), при значении постоянной иррадиации зрения  $b = 1,9'$ , то есть почти такой же, как и в наших опытах ( $b = 1,85'$ ). Как видим, теоретическая кривая хорошо соответствует опытным точкам.

### 3. Исследование совместного действия моделей инерции и иррадиации зрения

До сих пор рассматривались реакции модели инерции и иррадиации в тех случаях, когда зрительная картина являлась либо только функцией времени, либо только функцией координат поля зрения. В настоящем параграфе будут изучены некоторые реакции модели инерции и иррадиации зрения при подаче на ее вход таких зрительных картин, которые зависят сразу и от времени и от одной из координат поля зрения (координаты  $x$ ), то есть  $B=B(x, t)$ . В этом случае реакции модели будут описываться следующим интегральным выражением, являющимся частным случаем формулы (22) из работы [1]:

$$S(x, t) = \frac{k}{2b\sqrt{\pi}} \int_{-\infty}^t \frac{e^{-\frac{t-\tau}{a}}}{\sqrt{t-\tau}} dt \int_{-\infty}^{\infty} B(\xi, \tau) e^{-\frac{(\xi-x)^2}{4b^2 \frac{t-\tau}{a}}} d\xi. \quad (24)$$

Рассмотрим, как, согласно модели, будет выглядеть движущаяся в поле зрения полоса. Пусть в поле зрения на фоне с яркостью  $B_0$  с равномерной скоростью  $v$  движется вертикальная полоса. Яркость полосы отличается от яркости фона на величину  $\Delta B$ . Полоса имеет ширину  $\Delta x$ . В момент времени  $t=0$  ось полосы проходит через точку фиксации ( $x=0$ ). Функция яркости в этом случае запишется в виде:

$$B(x,t) = \begin{cases} B_0, & \text{если } x \leq vt - \Delta x/2, \\ B_0 + \Delta B, & \text{если } vt - \Delta x/2 < x \leq vt + \Delta x/2, \\ B_0, & \text{если } x > vt + \Delta x/2. \end{cases} \quad (25)$$

На рис. 16 а показано положение полосы в поле зрения в момент времени  $t$ . Рис. 16 б изображает изменение яркости  $B$  в функции координаты  $x$  в тот же момент времени.

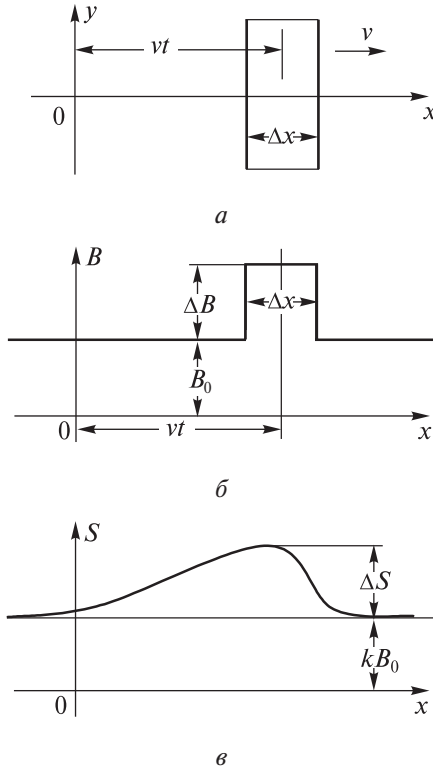


Рис. 16

Форму задания зрительной картины можно упростить, если перейти к системе координат, движущейся вместе с полосой:

$$x^* = x - vt. \quad (26)$$

В новой системе координат яркость  $B^*$  зрительной картины запишете в виде:

$$B^* = \begin{cases} B_0, & \text{если } x^* \leq -\frac{\Delta x}{2}, \\ B_0 + \Delta B, & \text{если } -\frac{\Delta x}{2} < x^* \leq \frac{\Delta x}{2}, \\ B_0, & \text{если } x^* > \frac{\Delta x}{2}. \end{cases} \quad (27)$$

Решая уравнение (24) при условии (27), получим следующее выражение для определения светлоты ощущения полосы в движущейся системе координат:

$$S^*(x^*) = \begin{cases} kB_0 - k\Delta B \frac{2r_1}{r_2 - r_1} sh \frac{r_2 \Delta x}{2} e^{r_2 x^*}, & \text{если } x^* \leq -\frac{\Delta x}{2}, \\ kB_0 + k\Delta B - k\Delta B \frac{r_2}{r_2 - r_1} e^{\frac{r_1 \Delta x}{2}} e^{r_1 x^*} + \\ + k\Delta B \frac{r_1}{r_2 - r_1} e^{-\frac{r_2 \Delta x}{2}} e^{r_2 x^*}, & \text{если } -\frac{\Delta x}{2} < x^* \leq \frac{\Delta x}{2}, \\ kB_0 - k\Delta B \frac{2r_2}{r_2 - r_1} sh \frac{r_1 \Delta x}{2} e^{r_1 x^*}, & \text{если } x^* > \frac{\Delta x}{2}, \end{cases} \quad (28)$$

где

$$r_{1,2} = \frac{-av \pm \sqrt{a^2 v^2 + 4b^2}}{2b^2}. \quad (29)$$

Определение светлоты ощущения в неподвижной системе координат может быть выполнено по формуле:

$$S(x,t) = S^*(x - vt). \quad (30)$$

Диаграмма изменения светлоты ощущения полосы в зависимости от координаты  $x$ , построенная по формулам (28)–(30) для некоторого момента времени, представлена на рис. 16 в. Из диаграммы видно, что полоса видится размытой, ее светлота не остается постоянной и имеет максимум в некоторой точке, сдвинутой от оси в сторону, противоположную направлению движения полосы. Координату  $x_0^*$  точки с максимальной яркостью в подвижной системе координат найдем, дифференцируя по  $x^*$  второе из равенств (28) и приравнявая производную  $dS^*/dx^*$  нулю. В результате получим:

$$x_0^* = -\frac{r_1 - r_2}{r_2 - r_1} \cdot \frac{\Delta x}{2}. \quad (31)$$

Определим максимальное приращение светлоты  $\Delta S$  ощущения движущейся полосы. Для этого подставим во второе из равенств (28) вместо текущей координаты  $x^*$  ее значение  $x_0^*$ , при котором светлота достигнет максимума. В результате получим:

$$\Delta S = k\Delta B \left( 1 - e^{-\frac{\Delta x}{\sqrt{a^2 v^2 + 4b^2}}} \right). \quad (32)$$

Формула (32) показывает, что максимальное приращение светлоты  $\Delta S$  полосы зависит от скорости движения полосы  $v$ . Диаграмма на рис. 17 показывает характер этой зависимости. Из диаграммы видно, что при увеличении скорости движения полосы максимальное приращения светлоты  $\Delta S$  уменьшается, стремясь к нулю. При некоторой критической скорости  $v_{кр}$  движения полосы светлота достигает порогового значения  $\Delta S_{п}$  и полоса вовсе не будет обнаруживаться наблюдателем.

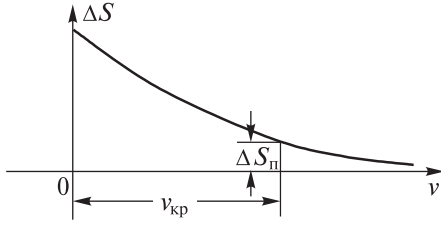


Рис. 17

Определим критическую скорость по формуле (32), подставляя в нее вместо  $\Delta S$  величину  $\Delta S = k\Delta B_{\text{п}}$ , а вместо  $v$  — величину  $v_{\text{кр}}$ :

$$v_{\text{кр}} = \frac{1}{a} \sqrt{\frac{\Delta x^2}{\ln^2\left(1 - \frac{\Delta B_{\text{п}}}{\Delta B}\right)} - 4b^2}. \quad (33)$$

Как видно из соотношения (33), критическая скорость увеличивается при увеличении ширины полосы  $\Delta x$  и уменьшается, стремясь к нулю, при уменьшении  $\Delta x$  до величины  $\Delta x_{\text{п}} = 2B \ln(1 - \Delta B_{\text{п}}/\Delta B)$ . Диаграмма зависимости  $v_{\text{кр}}$  от  $x$  показана на рис. 18 а. Зависимость  $v_{\text{кр}}$  от величины  $\Delta B$  носит аналогичный характер. При увеличении  $\Delta B$  величина  $v_{\text{кр}}$  растет, стремясь к бесконечности, а при уменьшении  $\Delta B$  — к величине  $\Delta B_{\text{п}}^* = \frac{\Delta B_{\text{п}}}{1 - e^{-\frac{\Delta x}{2b}}}$ ,  $v_{\text{кр}}$  убывает до

нуля (рис. 18 б). Формула (33) допускает экспериментальную проверку.

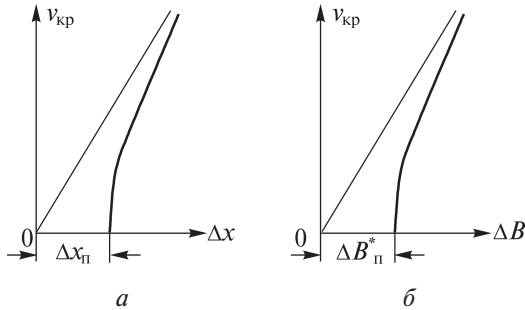


Рис. 18

Рассмотрим теперь реакцию модели на зрительную картину в виде серии движущихся полос. Пусть в поле зрения на фоне с яркостью  $B_1$  движется бесконечная серия полос. Яркость каждой полосы  $B_2$  отличается от яркости фона на величину  $\Delta B$ . Ширина каждой полосы равна  $\lambda X$ , расстояние (просвет) между соседними полосами  $(1-\lambda)X$ . Параметр  $\lambda$  может колебаться в пределах от 0 до 1. Функция яркости  $B^*(x, t)$  в этом случае запишется в виде (в движущейся системе координат):

$$B^*(x^*) = \begin{cases} B_1, & \text{если } X(n - \frac{\lambda}{2}) < x^* \leq X(n + \frac{\lambda}{2}), \\ B_2, & \text{если } X(n + \frac{\lambda}{2}) < x^* \leq X(n + 1 - \frac{\lambda}{2}). \end{cases} \quad (34)$$

На рис. 19 а представлена диаграмма изменения яркости  $B^*(x^*)$  зрительной картины, определяемой условиями (34).

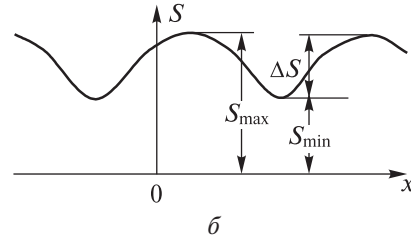
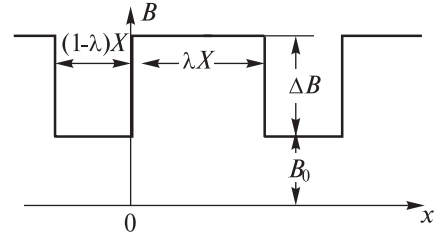


Рис. 19

Воспользовавшись линейностью уравнения (24), мы можем получить его решение в данном случае как бесконечную сумму слагаемых вида (28). После преобразований эту сумму можно представить в следующем виде:

$$S^*(x^*) = \begin{cases} k B_1 - k \Delta B \frac{r_2}{r_2 - r_1} e^{\eta_1(x^* - nX)} \cdot \frac{\text{sh} \frac{r_1(1-\lambda)X}{2}}{\text{sh} \frac{r_1 X}{2}} + \\ + k \Delta B \frac{r_1}{r_2 - r_1} e^{\eta_2(x^* - nX)} \cdot \frac{\text{sh} \frac{r_2(1-\lambda)X}{2}}{\text{sh} \frac{r_2 X}{2}}, \\ \text{если } X(n - \frac{\lambda}{2}) < x^* \leq X(n + \frac{\lambda}{2}), \\ k B_2 - k \Delta B \frac{r_2}{r_2 - r_1} e^{\eta_1[x^* - (n + \frac{\lambda}{2})X]} \cdot \frac{\text{sh} \frac{r_1 \lambda X}{2}}{\text{sh} \frac{r_1 X}{2}} - \\ - k \Delta B \frac{r_1}{r_2 - r_1} e^{\eta_2[x^* - (n + \frac{\lambda}{2})X]} \cdot \frac{\text{sh} \frac{r_2 \lambda X}{2}}{\text{sh} \frac{r_2 X}{2}}, \\ \text{если } X(n + \frac{\lambda}{2}) < x^* \leq X(n + 1 - \frac{\lambda}{2}). \end{cases} \quad (35)$$

Характер изменения светлоты  $S^*(x^*)$  серии движущихся полос показан на диаграмме (рис. 19 б). Дифференцируя соотношение (35) и приравнявая производные к нулю, найдем максимальное  $S_{\text{max}}$  и минимальное  $S_{\text{min}}$  значения светлоты:

$$S_{\text{max}} = k B_1 - k \Delta B \left( \frac{\text{sh} \frac{r_1(1-\lambda)X}{2}}{\text{sh} \frac{r_1 X}{2}} \right)^{\frac{r_2}{r_2 - r_1}} \times \\ \times \left( \frac{\text{sh} \frac{r_2(1-\lambda)X}{2}}{\text{sh} \frac{r_2 X}{2}} \right)^{\frac{\eta_1}{r_2 - r_1}}, \quad (36)$$

**Выводы**

Исследованы реакции модели иррадиации зрения на одиночную полосу и кружок. Получены формулы, определяющие условия порогового видения полосы и кружка, допускающие прямую экспериментальную проверку. Выполнены психофизические эксперименты по проверке найденных зависимостей. Получено удовлетворительное согласие теории с опытом. Исследованы реакции модели на серию прямоугольных полос различной скважности, получены зависимости для определения критической густоты слияния серии полос, осуществлена их экспериментальная проверка, получено согласие теории с опытом. Найдено численное значение постоянной иррадиации для человеческого зрения, равное  $b = 1,85'$ . Исследованы реакции модели инерции и иррадиации зрения на одиночную движущуюся полосу и на серию движущихся полос, получены зависимости, допускающие их прямую опытную проверку.

**Список литературы:** 1. Бондаренко М.Ф., Шабанов-Кушнаренко С.Ю., Шабанов-Кушнаренко Ю.П. Модель сглаживания в зрении // Бионика интеллекта: науч.-техн. журнал. — 2007. — № 1. — С. 33-47. 2. Смирнов А.А. Зависимость различительной чувствительности глаза от величины объектов // В сб. «Зрительные ощущения и восприятия». — М.-Л.: Соцэкгиз, 1935. Т. 2.

*Поступила в редколлегию 22.01.2008*

$$S_{\min} = kB_2 + k\Delta B \left( \frac{sh \frac{r_1 \lambda X}{2}}{sh \frac{r_1 X}{2}} \right)^{\frac{r_2}{r_2-r_1}} \cdot \left( \frac{sh \frac{r_2 \lambda X}{2}}{sh \frac{r_2 X}{2}} \right)^{-\frac{r_1}{r_2-r_1}} \quad (37)$$

Полагая  $S_{\max} - S_{\min} = \Delta B_{\Pi}$ , найдем соотношение между критической скоростью  $v_{кр}$  движения полос, пороговой шириной  $\Delta x_{\Pi}$  и параметром  $\lambda$ :

$$\frac{\Delta B_{\Pi}}{\Delta B} = 1 - \left( \frac{sh \frac{r_1 (1-\lambda) X}{2}}{sh \frac{r_1 X}{2}} \right)^{\frac{r_2}{r_2-r_1}} \cdot \left( \frac{sh \frac{r_2 (1-\lambda) X}{2}}{sh \frac{r_2 X}{2}} \right)^{-\frac{r_1}{r_2-r_1}} - \left( \frac{sh \frac{r_1 \lambda X}{2}}{sh \frac{r_1 X}{2}} \right)^{\frac{r_2}{r_2-r_1}} \cdot \left( \frac{sh \frac{r_2 \lambda X}{2}}{sh \frac{r_2 X}{2}} \right)^{-\frac{r_1}{r_2-r_1}} \quad (38)$$

Характер зависимости величины  $\Delta B$  от  $v_{кр}$ ,  $\lambda$  и  $x$  соответственно представлен на рис. 20а, б, в. Эти зависимости допускают опытную проверку.

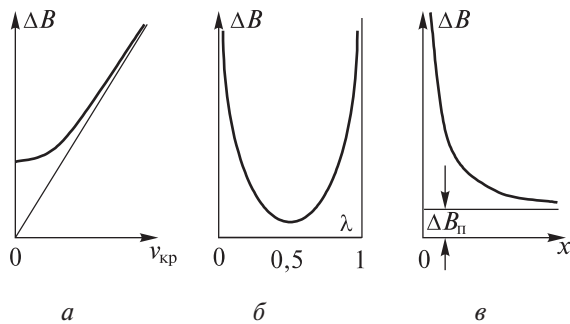


Рис. 20